

01

Консервативное флуктуационно-электромагнитное взаимодействие проводящей наночастицы с гладкой поверхностью конденсированной среды

© Г.В. Дедков, А.А. Кясов

Кабардино-Балкарский государственный университет, Нальчик
E-mail: gv_dedkov@mail.ru; nano@kbsu.ru

Поступило в Редакцию 24 октября 2006 г.

Впервые получены общие формулы для консервативной силы флуктуационно-электромагнитного взаимодействия сферической нейтральной наночастицы с гладкой поверхностью конденсированной среды, учитывающие как электрические, так и магнитные составляющие. Результаты расчета взаимодействия наночастиц меди с медной поверхностью показывают, что вклад магнитных составляющих является преобладающим при всех расстояниях, превышающих радиус частицы R , а в области расстояний, превышающих $\sim 10R$, доминирует пропорциональный температуре вклад ближних мод поверхности, убывающий обратно пропорционально кубу расстояния.

PACS: 05.40.-a, 4.л.20.Jb

Флуктуационно-электромагнитное взаимодействие (ФЭВ) малой проводящей частицы с поверхностью конденсированного тела, в отличие от взаимодействия диэлектрической частицы, имеет свою специфику. В этом случае, наряду с флуктуационным электрическим моментом, у частицы имеется значительный (а у металлической частицы он может стать определяющим) магнитный момент. Флуктуационный магнитный момент возникает даже у неподвижной немагнитной частицы за счет токов Фуко, генерируемых переменным внешним магнитным полем, проникающим в нее [1].

Эффективным способом решения поставленной задачи является общий метод расчета ФЭВ, развитый в наших работах [2–5]. Он оправдал себя не только при решении статических задач (силы Ван-дер-Ваальса, радиационный теплообмен), но и при рассмотрении ФЭВ в случае релятивистского движения малых частиц. В соответствии с этим методом в дипольном приближении сила взаимодействия наночастицы с поверхностью представляется в виде

$$F_z = \left\langle \frac{\partial}{\partial z} (\mathbf{dE} + \mathbf{mB}) \right\rangle, \quad (1)$$

где \mathbf{d} и \mathbf{m} — флуктуационные дипольный электрический и магнитный момент, \mathbf{E} и \mathbf{B} — компоненты электромагнитного поля. Все указанные величины включают спонтанные и индуцированные составляющие, а угловые скобки обозначают квантово-статистическое усреднение. Дифференцирование производится по координате z декартовой системы, ось которой направлена по нормали к поверхности.

Фактически, в работах [2–5] на основе (1) были получены все общие формулы для силы ФЭВ, действующей на релятивистскую частицу, обладающую флуктуационным электрическим дипольным моментом в собственной системе отсчета. В рассматривавшемся случае флуктуационный магнитный момент частицы в системе отсчета покоящейся поверхности возникал вследствие релятивистских преобразований векторов поляризации и намагниченности. Для покоящейся проводящей наночастицы с отличной от нуля электрической и магнитной поляризуемостью моменты \mathbf{d} и \mathbf{m} входят в формулу (1) более симметричным образом. С учетом этого все вычисления в ее правой части проводятся в полном соответствии с работами [2–5]. Полагая в конечных выражениях температуру частицы и поверхности одинаковой и равной T , а скорость частицы равной нулю, представим F_z в виде

$$F_z = F_z^{(1)} + F_z^{(2)}, \quad (2)$$

$$\begin{aligned}
F_z^{(1)} &= -\frac{\hbar}{\pi} \int_0^{\infty} d\omega \left(\frac{\omega}{c}\right)^4 \\
&\times \int_0^{\infty} duu \exp(-2\omega z u/c) \left\{ [(2u^2 - 1)\tilde{\Delta}_e(u, \varepsilon) - \tilde{\Delta}_m(u, \varepsilon)]\alpha_e(i\omega) \right. \\
&\left. + [(2u^2 - 1)\tilde{\Delta}_m(u, \varepsilon) - \tilde{\Delta}_e(u, \varepsilon)]\alpha_m(i\omega) \right\}, \quad (3)
\end{aligned}$$

$$\begin{aligned}
F_z^{(2)} &= -\frac{2\hbar}{\pi} \int_0^{\infty} d\omega \left(\frac{\omega}{c}\right)^4 [\exp(\hbar\omega/kT) - 1]^{-1} \\
&\times \left\{ \int_0^1 duu \operatorname{Im} \left[\exp(2i\omega z u/c) ((1 - 2u^2)\tilde{\Delta}_e(u, \varepsilon) + \tilde{\Delta}_m(u, \varepsilon))\alpha_e(\omega) \right. \right. \\
&\left. \left. + \exp(2i\omega z u/c) ((1 - 2u^2)\tilde{\Delta}_m(u, \varepsilon) + \tilde{\Delta}_e(u, \varepsilon))\alpha_m(\omega) \right] \right. \\
&\left. + \int_0^{\infty} duu \exp(-2\omega z u/c) \operatorname{Im} \left[((2u^2 + 1)\Delta_e(u, \varepsilon) + \Delta_m(u, \varepsilon))\alpha_e(\omega) \right. \right. \\
&\left. \left. + ((2u^2 + 1)\Delta_m(u, \varepsilon) + \Delta_e(u, \varepsilon))\alpha_m(\omega) \right] \right\}, \quad (4)
\end{aligned}$$

где \hbar и c — постоянная Планка и скорость света в вакууме, k — постоянная Больцмана, z — расстояние до поверхности, $\alpha_{e,m}(\omega)$ — электрическая и магнитная поляризуемость, а функции $\Delta_{e,m}$ и $\tilde{\Delta}_{e,m}$ определены выражениями

$$\Delta_e = \frac{\varepsilon u - \sqrt{u^2 + 1 - \varepsilon\mu}}{\varepsilon u + \sqrt{u^2 + 1 - \varepsilon\mu}}, \quad \Delta_m = \frac{\mu u - \sqrt{u^2 + 1 - \varepsilon\mu}}{\mu u + \sqrt{u^2 + 1 - \varepsilon\mu}}, \quad (5)$$

$$\tilde{\Delta}_e = \frac{\varepsilon u - \sqrt{u^2 + \varepsilon\mu - 1}}{\varepsilon u + \sqrt{u^2 + \varepsilon\mu - 1}}, \quad \tilde{\Delta}_m = \frac{\mu u - \sqrt{u^2 + \varepsilon\mu - 1}}{\mu u + \sqrt{u^2 + \varepsilon\mu - 1}}. \quad (6)$$

В формулах (5)–(8) ε и μ — зависящие от частоты диэлектрическая и магнитная проницаемость конденсированной среды. Аргументы функ-

ций $\Delta_{e,m}$, $\tilde{\Delta}_{e,m}$ и ε и μ для краткости не указаны. В дальнейшем будем считать поверхность немагнитной ($\mu = 1$).

Формулы (3) и (4) отвечают не зависящей и зависящей от температуры компонентам силы притяжения частицы к поверхности, причем первое слагаемое в фигурных скобках (4) обусловлено вкладом радиационных электромагнитных мод поверхности, а второе — вкладом мод ближнего поля. Как непосредственно видно, формулы (3), (4) обладают полной перестановочной симметрией по отношению к „электрическим“ (с индексом „e“) и „магнитным“ (с индексом „m“) величинам. Из (3), в частности, легко получить классические выражения для сил Ван-дер-Ваальса и Казимира [6], полагая $\alpha_m(\omega) = 0$.

Переход к незапаздывающему пределу, отвечающему силам Ван-дер-Ваальса, возможен при условии, что в спектрах поглощения частицы и поверхности имеется характерная частота $\bar{\omega}$, такая, что $\lambda = 2\bar{\omega}z/c \ll 1$. В этом случае вклады магнитных составляющих взаимодействия обнуляются, и формулы (2)–(4) приводятся к виду

$$F_z = F_z^{(1)} + F_z^{(2)} = -\frac{3}{4\pi} \frac{\hbar}{z^4} \int_0^\infty \frac{\varepsilon(i\omega) - 1}{\varepsilon(i\omega) + 1} \alpha_e(i\omega) d\omega - \frac{3}{2\pi} \frac{\hbar}{z^4} \int_0^\infty \text{Im} \left[\frac{\varepsilon(\omega) - 1}{\varepsilon(\omega) + 1} \alpha_e(\omega) \right] [\exp(\hbar\omega/kT) - 1]^{-1} d\omega. \quad (7)$$

Порядок отношения $F_z^{(2)}/F_z^{(1)}$ определяется величиной $\omega_W/\bar{\omega}$, где $\omega_W = kT/\hbar$ — частота Вина. При нормальной температуре $\omega_W = 4 \cdot 10^{13} \text{ s}^{-1}$, а так как $\bar{\omega}$ обычно находится в оптическом диапазоне, то температурный вклад в силу Ван-дер-Ваальса, как правило, не превышает долей процента.

При учете запаздывания ситуация принципиально изменяется. При этом необходимо заметить, что вклад магнитных составляющих взаимодействия проявляется уже на малых расстояниях от поверхности ($z \sim 1 \text{ nm}$), т.е. „в зоне“ Ван-дер-Ваальсовых сил. Применим (3), (4) для расчета взаимодействия между металлической сферической наночастицей (с радиусом R) и поверхностью. Для простоты будем считать, что частица и поверхность характеризуются одинаковой диэлектрической функцией $\varepsilon(\omega) = 1 + i4\pi\sigma/\omega$, где σ — статическая проводимость.

Для функций $\alpha_{e,m}(\omega)$ используем классические аппроксимации [1]:

$$\alpha_e(\omega) = R^3 \frac{\varepsilon(\omega) - 1}{\varepsilon(\omega) + 2} = R^3 \varphi_e(\omega), \quad (8)$$

$$\alpha_m(\omega) = -\frac{R^3}{2} \left[1 - \frac{3}{R^2 k^2} + \frac{3}{Rk} \operatorname{ctg}(Rk) \right] \equiv -R^3 \varphi_m(x),$$

$$x = Rk = R(1+i)\sqrt{2\pi\sigma\omega/c}. \quad (9)$$

С учетом этого формула (3) приводится к удобному для расчета виду ($a = (R/z)^{0.5} \lambda_R^{0.5}$, $\lambda_R = 2\pi\sigma R/c$):

$$F_z^{(1)} = -\frac{\hbar c}{32\pi} \left(\frac{R}{z}\right)^3 \frac{1}{z^2} \int_0^\infty dx x^4 e^{-x}$$

$$\times \int_1^\infty \frac{du}{u^4} \{ R_e(u, x) \varphi_e(cx/2zu) + R_m(u, x) \varphi_m(a(x/u)^{0.5}) \}, \quad (10)$$

$$R_e(u, x) = (2u^2 - 1) \frac{u(1 + \lambda_0 x/u) - (u^2 + \lambda_0 x/u)^{0.5}}{u(1 + \lambda_0 x/u) + (u^2 + \lambda_0 x/u)^{0.5}}$$

$$- \frac{u - (u^2 + \lambda_0 x/u)^{0.5}}{u + (u^2 + \lambda_0 x/u)^{0.5}}, \quad (11)$$

$$R_m(u, x) = (2u^2 - 1) \frac{u - (u^2 + \lambda_0 x/u)^{0.5}}{u + (u^2 + \lambda_0 x/u)^{0.5}}$$

$$- \frac{u(1 + \lambda_0 x/u) - (u^2 + \lambda_0 x/u)^{0.5}}{u(1 + \lambda_0 x/u) + (u^2 + \lambda_0 x/u)^{0.5}}, \quad (12)$$

где $\lambda_0 = 8\pi\sigma z/c$, $a = 0.5(\lambda_0 R/z)^{0.5}$.

Теперь обратимся к вычислению $F_z^{(2)}$. При этом можно пренебречь вкладом членов (4), связанных с электрической поляризацией, так как они определяются малым фактором $\omega_W/\sigma \sim 10^{-4}$. С учетом этого формула (4) для температурных составляющих мод ближнего поля

$F_z^{(2,ev)}$ и радиационных мод $F_z^{(2,rad)}$ приводятся к виду

$$\begin{aligned}
 F_z^{(2,ev)} = & \frac{\hbar\omega_W}{2\pi R} \left(\frac{R}{z}\right)^4 \left\{ -\frac{1}{\lambda_0\lambda_W} \int_0^\infty \frac{dt\varphi_m(bt^{0.5})}{t(e^t - 1)} \right. \\
 & \times \int_0^\infty dx x^4 e^{-x} \left[-x + (0.5(x^2 + (x^4 + \lambda_0\lambda_W t^2)^{0.5}))^{0.5} \right] \\
 & + 0.5 \int_0^\infty \frac{dt t(1 - 0.5\varphi_m(bt^{0.5}))}{(e^t - 1)} \\
 & \left. \times \int_0^\infty dx x^2 e^{-x} \left[-x + (0.5(x^2 + (x^4 + \lambda_0\lambda_W t^2)^{0.5}))^{0.5} \right] \right\}, \quad (13)
 \end{aligned}$$

$$\begin{aligned}
 F_z^{(2,rad)} = & \frac{1}{4\pi} \frac{\hbar\omega_W}{z} \left(\frac{R}{z}\right)^3 \\
 & \times \int_0^\infty \frac{dx}{(e^x - 1)} \left[(3\lambda_W^2 x^2 - 6) \sin(\lambda_W x) - (\lambda_W^3 x^3 - 6\lambda_W x) \cos(\lambda_W x) \right], \quad (14)
 \end{aligned}$$

где $\lambda_W = 2\omega_W z/c$, $b = 2R\sqrt{2\pi\sigma\omega_W}/c$. Кажущаяся расходимость интеграла по переменной t в (13) при $t \rightarrow 0$ компенсируется функцией в квадратных скобках. Основной вклад в температурную зависимость (13) и (14) определяется частотой ω_W .

Из структуры подынтегральных выражений (10), (13), (14) видно, что роль эффектов запаздывания определяется параметрами λ_0 , λ_W , b и $\lambda_0\lambda_W$. При $T = 300$ К, $\sigma = 5.2 \cdot 10^{17} \text{ s}^{-1}$ (рассматриваем контакт медной наночастицы с поверхностью меди) для указанных величин получим $44z$, $2.6 \cdot 10^{-4}z$, $0.075R$ и $0.011z^2$ соответственно, где z и R выражены в нм. Поэтому расчет $F_z^{(1)}$ уже в нанометровом диапазоне расстояний требует учета эффекта запаздывания, для $F_z^{(2,ev)}$ запаздывание заметно проявляется при $z > 10$ нм, а для $F_z^{(2,rad)}$ — только в диапазоне микрометровых расстояний.

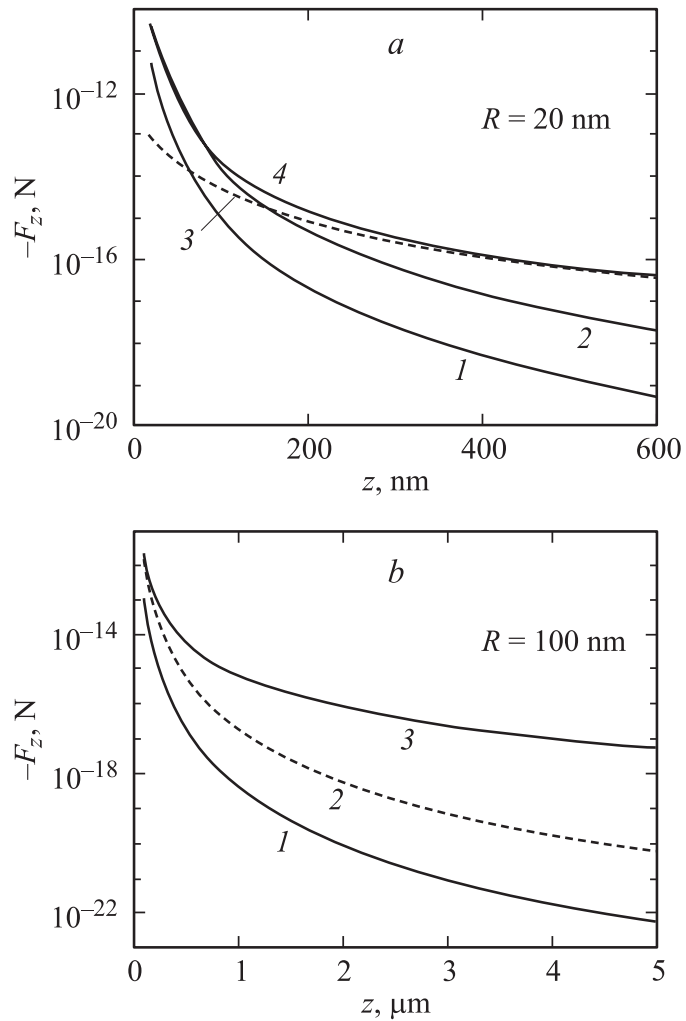


Рис. 1. Сила консервативного взаимодействия медной наночастицы с поверхностью меди при $T = 300$ К. *a* — $R = 20$ nm; 1 — $F_z^{(1)}$ без учета магнитных вкладов, 2 — $F_z^{(1)}$ с учетом магнитных вкладов, 3 — температурный вклад $F_z^{(2)}$, 4 — суммарная величина F_z . *b* — $R = 100$ nm; 1 — $F_z^{(1)}$ без учета магнитных вкладов, 2 — $F_z^{(1)}$ с учетом магнитных вкладов, 3 — $F_z = F_z^{(1)} + F_z^{(2)}$.

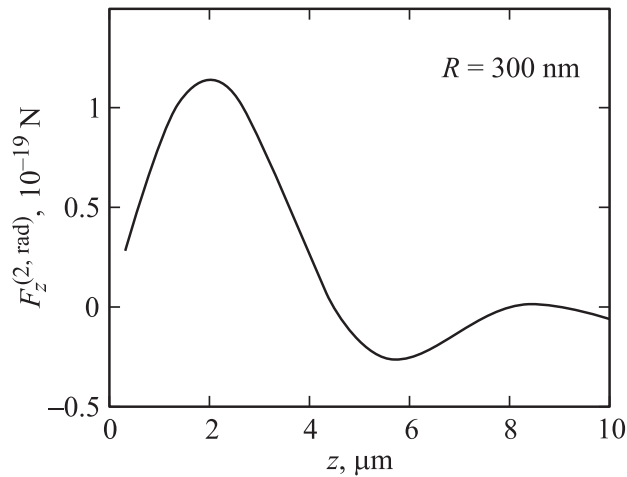


Рис. 2. Вклад радиационных мод поверхности меди в силу взаимодействия с медной наночастицей с радиусом $R = 300 \text{ nm}$ ($T = 300 \text{ K}$).

Результаты расчета сил взаимодействия для наночастиц меди с радиусом 20 и 100 nm и поверхностью меди по формулам (10), (13) показаны на рис. 1, *a*, *b*. На рис. 2 приведен радиационный вклад $F_z^{(2, \text{rad})}$ (14) для частицы с радиусом 300 nm. Эта часть силы взаимодействия имеет осциллирующий характер с периодом, близким к c/ω_w , но по абсолютной величине, как мы видим, весьма мала. Из рис. 1 вытекают несколько основных выводов: 1) магнитный вклад в силу $F_z^{(1)}$ является доминирующим на расстояниях $z > R$ (ср. линии 1 и 2 на рис. 1, *a*), а в $F_z^{(2, \text{ev})}$ — на всех расстояниях; 2) температурный вклад доминирует на расстояниях $z > 200 \text{ nm}$ (при $R = 20 \text{ nm}$); 3) в области преобладания $F_z^{(2, \text{ev})}$ сила взаимодействия металлической наночастицы с металлической поверхностью убывает по закону $\sim z^{-3}$.

Таким образом, вклад магнитной поляризации металлических наночастиц в силу консервативного взаимодействия с металлической поверхностью является принципиально важным (и даже доминирующим) и обнаруживает специфическую зависимость от температуры, размера частиц, проводимости (частицы и поверхности) и расстояния.

Список литературы

- [1] Ландау Л.Д., Лифшиц Е.М. Электродинамика сплошных сред. М.: Наука, 1982. 620 с.
- [2] Куасов А.А., Дедков Г.В. // Nuclear Instr. Meth. 2002. В95. Р. 247.
- [3] Дедков Г.В., Кясов А.А. // ФГТ. 2003. Т. 45. В. 10. С. 1729.
- [4] Дедков Г.В., Куасов А.А. // Phys. Low-Dim. Struct. 2003. V. 1/2. P. 1.
- [5] Дедков Г.В., Куасов А.А. // Phys. Lett. 2005. V. А339. P. 212.
- [6] Лифшиц Е.М., Питаевский Л.П. // Статистическая физика. Ч. 2. М.: Физматлит, 2002. 490 с.